

# دراسة تأثير الحجم الحبيبي والمتضمنات الالامعدنية على سبيكة الفولاذ

غازي كمال سعيد

جامعة واسط/ كلية التربية الاساسية - قسم العلوم

## الخلاصة:

يتواجد عدد من العناصر كالأوكسجين والكبريت على شكل أكاسيد وكبريتيدات في الفولاذ، ولكون قابلية ذوبانهما واطئة، فإنهما يكونان متضمنات لامعدنية في الفولاذ. أن شكل وعدد وحجم وطريقة توزيع هذه المتضمنات يؤثر على نوعية الفولاذ وسلوكه في التطبيقات الهندسية.

تم في هذا البحث دراسة حجم وشكل وأنواع هذه المتضمنات بأسخدام محاليل كيميائية لأظهارها ولأيجاد الدليل  $K_0$  والذي يمثل النسبة المئوية للمتضمنات داخل البنية التركيبية للفولاذ. وكذلك دراسة العلاقة بين هذا الدليل والخواص الميكانيكية للفولاذ المطروق.

لقد تم التوصل إلى نتائج تبين وجود علاقة عكسية بين الأسطالة ومقاومة الصدمة مع الدليل  $K_0$  وإلى وجود علاقة طردية بينهما وبين مقاومة الشد.

**الكلمات المفتاحية:** الحجم الحبيبي ، متضمنات لامعدنية ، سبيكة الفولاذ ، الدليل  $K_0$

## المقدمة:

### أنواع المتضمنات الالامعدنية :

يكون الاوكسجين والكبريت وبعض العناصر الأخرى كالسليكون والمنغنيز متضمنات لامعدنية كأطوار غير معدنية في اساس معدني ولا يوجد ترابط بينها وبين المعدن الاساس وغير ذاتية فيه<sup>[1]</sup> ، وتصنف المتضمنات الالامعدنية الى نوعين رئيسيين مما<sup>[4-2]</sup>.

### المتضمنات الخارجية :

وهي التي تنتج من مصادر خارجية مثل الخبث أو المواد التي تلتصلق بالمعدن خلال عملية الاصهر والصب وغالبا ما يكون هذا النوع من المتضمنات عيانياً على سطح المصبوبة ويمكن معالجته مباشرة.

### المتضمنات الداخلية :

وهي التي تكون على شكل مركبات اغلبها من الاوكسيدات والكبريتات وتتكون نتيجة التفاعلات الكيميائية بين الالمنيوم والاوكسجين ، والسيليكون والاوكسجين، والمنغنيز والكبريت . وهذا النوع من المتضمنات عادةً ما تكون صغيرة جداً وتحتاج الى تكبير مجهرى لرؤيتها وتمييزها ويكون توزيعها منتظم داخل التركيب المجهرى واحياناً توجد على الحدود الحبيبية .

وقد صنف هذا النوع من المتضمنات الى عدة أنواع ، حيث صنفها الباحثان سميز وداهل الى ثلاثة أنواع حسب شكلها وحجمها وطريقة توزيعها [5] .

اما المواصفة الالمانية القياسية DIN-50602 فقد صنفت هذا النوع من المتضمنات الى اربعة انواع هي [6] :

- المتضمنات الكبريتية المستطاله sulphide elongated inclusions ويرمز لها SS .  
- المتضمنات الأوكسidiية المبعثرة oxide forged inclusions ويرمز لها بالرمز OA (الومينا).

- المتضمنات الأوكسidiية المستطاله oxide elongated inclusions ويرمز لها بالرمز OS (سيليكارات)

- المتضمنات الأوكسidiية المدوره oxide globular inclusions ويرمز لها بالرمز OG .  
وقد تتكون متضمنات مختلفة مثل الأوكسي - كبريتيدية ، أو مزيج مختلط من الالومينا وكبريتيد المنغنيز .

### درجة النقاوة:

قيمة تبين محتوى المتضمنات الالامعدينية التي تكون على شكل أكاسيد أو كبريتيدات في البنية التركيبية ، ويوظف دليل يتناسب مع محتوى المتضمنات يرمز له بالحرف (K ) ويعرف هذا الدليل على انه النسبة المئوية لمساحة المتضمنات الالامعدينية في البنية التركيبية ونحصل عليه من حاصل جمع عدد المتضمنات على ضوء مساحتها وأبتداءً من حجم محدد وصاعداً . وهناك أعداد تسمى أعداد تتابع rating numbers وهي من صفر الى ثمانية توزع عليها المتضمنات حسب طولها أو عرضها أو قطرها حيث أن كل مدى معين من الطول أو العرض للمتضمنات يوضع تحت عدد تتابعي .

ويعتمد حساب المتضمنات على العامل المحسوب على أساس المتواالية الهندسية  $(2^{n-4})$  حيث n هو عدد التتابع ويتم اعتماد عدد التتابع المعين حسب طريقة تصنيع الفولاذ

ونوعه . فمثلاً في طرق الصهر بالهواء وفولاذ الهياكل والعدد يستخدم عدد التتابع رقم (4) وصاعداً أي نبدأ بحساب المتضمنات التي تكون أبعادها من العدد التتابع رقم (4) وصاعداً أي المتضمنات التي يعرض 0.5 ميكرون وطول يتراوح بين (4400-2200) ميكرون ، ونهمل المتضمنات التي تكون اصغر من ذلك وفي هذه الحالة يضاف الرقم (4) الى الحرف (K) السابق فيسمى الدليل ( $K_4$ ) . اما الفولاذ المصنوع عن طريق الصهر بالفراغ او في طريقة اعادة الصهر بكهربة الخبث (ESR) فيتم استخدام عدد التتابع رقم (1) وصاعداً ويسمى الدليل في هذه الحالة ( $K_1$ ) اما الدليل ( $K_0$ ) فيعني حساب جميع المتضمنات دون استثناء اي نبدأ بالمتضمنات التي تكون تحت العدد التتابع رقم صفر وهي التي تكون يعرض 0.5 ميكرون وطول يتراوح بين (290-150) ميكرون أي ان الرقم الذي يلي الحرف (K) يشير الى اصغر عدد تتابع مستخدم<sup>[6]</sup> . وقد تم استخدام العدد التتابع ( $K_0$ ) في هذا البحث .

### طريقة اعادة الصهر بكهربة الخبث :

تستخدم تقنية اعادة الصهر بكهربة الخبث لانتاج فولاذ ومواصفات ونوعية عالية ويرمز لها اختصاراً بالرمز (ESR) . وتتلخص هذه الطريقة بإعادة صهر قطب من الفولاذ منتج بعملية صهر اولي ويغمر هذا القطب في خبث ساخن جداً فعند ارتفاع درجة الحرارة الى أعلى من درجة حرارة السائلة للمعدن فإن رأس القطب سينصهر ويمز خلال هذا الخبث السائل وخلال مروره فإنه ينقى وينظف من الملوثات كالاكسيد والكبريتيدات من خلال التفاعل بين مكونات الخبث والمنصهر المعدني وأن المتضمنات المتبقية ستكون صغيرة الحجم وموزعة خلال المصبوبة وتكون متجانسة وخالية من الانزعالية (segregation) والفجوات مما يؤدي الى تحسين الخواص الميكانيكية بشكل كبير<sup>[7]</sup> .

ومن البحوث السابقة الخاصة بموضوع المتضمنات الالامعدنية أي استخدام نفس هذه الطريقة، توصل (R.H.Elweel 1975) وجماعته الى أن الخواص الميكانيكية للفولاذ يمكن تحسينها بالسيطرة على شكل المتضمنات وذلك بالوصول الى نسبة قليلة جداً من الكبريت من خلال استخدام طريقة الـ (ESR)<sup>[8]</sup> .

وبحث لي (S.LEE 1989) في العلاقة بين التركيب المجهري والهشاشة وأكّد أن الفجوات تتكون أولاً حول المتضمنات الكبريتية الكبيرة الحجم<sup>[9]</sup> .

وأشار جونهن يو (Chunhn, iuo) (2000) إلى سلوك المتضمنات والمادة الأساسية المحيطة بها خلال عمليات الدرفلة على الحر وطرق للفولاذ، وأشار إلى أن الفجوات تتكون في السطح الفاصل بين المادة الأساسية والمتضمنات وتتناول الاجهادات المتولدة نتيجة وجود هذه المتضمنات [10].

### الجانب العملي :

مقدمة: تم في هذا البحث استخدام نماذج من سبيكة الفولاذ واطئ التسبيك هي السبيكة (30NiCrMo<sub>16-6</sub>) وهذه السبيكة منتجة بطريقة إعادة الصهر بكمبربة الخبث (ESR). والجدول رقم (1) يبين التركيب الكيميائي القياسي لهذه السبيكة [11].

جدول رقم (1) التركيب القياسي الكيميائي للسبائك .

Alloy type	C	Si	Mn	P	S	Cr	Mo	Ni
30NiCrMo <sub>16-6</sub>	0.27-0.33	0.15-0.35	0.4-0.6	0.035	0.035	1.3-1.5	0.4-0.5	3.8-4.2

### تحضير النماذج :

أن الفحوصات التي أجريت خلال هذا البحث تتطلب تهيئة خاصة للنماذج ولذلك تطلب إجراء عمليات عديدة تشمل :

- أ- التقطيع : حيث يتم تقطيع النماذج من أماكن وأنجاهات معينة بواسطة آلة القطع.
- ب- التشغيل : يتم تشغيل نماذج خاصة لفحوصات الشد والصدمة وبأبعاد معينة بواسطة المخرطة والفرizer.
- ج- التعيم والصلقل : جرى تعيم وصلقل النماذج الخاصة بفحوصات درجة النقاوة والحجم والتركيب المجهري وذلك باستخدام ورق التجليخ بدرجات مختلفة وعجينة الماس وباحجام حبيبية مختلفة .
- د- الأظهار الكيميائي : يتم معاملة النموذج بمحلول حامض التريك والذي يتكون من (96-98%) حامض التريك و (4-4%) كحول أيثانول أو ميثانول.

### الأجهزة المستخدمة :

- أ- التركيب الكيميائي : لغرض فحص التركيب الكيميائي تم استخدام جهاز تألق الأشعة السينية (XRF) X-Ray Fluorescence .

### ب- الفحوصات الميكانيكية:

تمت فحوصات الشد حسب المعايير الالمانية القياسية DIN50125 [12] ، بجهاز فحص الشد Shimadzo Servo ياباني الصنع.

أما فحص الصدمة فتمت حسب المعايير الألمانية القياسية DIN50115<sup>[13]</sup> بجهاز فحص الصدمة (Impact) أنكليزي الصنع ،أضافة إلى فحص الصلاة بمقاييس بريل حيث تم استخدام جهاز (Willson Rockwell-500) أمريكي الصنع.

### **جـ- فحص درجة النقاوة :**

تم الفحص حسب المعايير القياسية DIN50602 وباستخدام المجهر الضوئي وبتكبير X100 حيث أجري الفحص بعد إتمام عملية الصقل والتنعيم فتظهر المتضمنات بوضوح على سطح النموذج فيتم حسابها حسب الأنواع الأربع الواردة سالقاً [6]

#### د- فحص الحجم الحبيبى :

استخدم المجهر الضوئي وبتكبير X100 وباتباع أسلوب الأكسدة وحسب المواصفة القياسية الأمريكية ASTM E112-96 حيث يصقل النموذج جيداً ويوضع في الفرن ويسخن إلى درجة حرارة  $14^{\circ}\text{C} \pm 875^{\circ}\text{C}$  لمدة ساعة ثم يبرد بالماء ويعاد صقله مرة أخرى لإظهار الحدود الحبيبة للأوستنait<sup>[14]</sup>.

## النتائج والمناقشة :

## نتائج فحص التركيب الكيميائي :

يبين الجدول رقم(2) نتائج التحليل الكيميائي للنماذج المأخوذة من السبيكة المنتجة محلياً.

## الجدول رقم (2) بين نتائج التركيب الكيميائي

Sample number	C%	Si%	S%	P%	Mn%	Cr%	Mo%	Ni%	V%
1	0.2	0.02	0.007	0.007	0.42	1.27	0.44	2.63	0.1
2	0.37	0.34	0.006	0.011	0.46	1.62	0.49	3.3	0.13
3	0.36	0.33	0.007	0.009	0.46	1.58	0.49	3.25	0.09
4	0.28	0.21	0.01	0.009	0.48	1.58	0.45	3.45	0.08
5	0.29	0.23	0.011	0.012	0.47	1.56	0.43	3.42	0.1
6	0.28	0.21	0.014	0.008	0.47	1.54	0.45	3.45	0.09
7	0.3	0.32	0.009	0.009	0.43	1.52	0.44	3.43	0.07
8	0.3	0.3	0.01	0.026	0.58	1.67	0.51	3.45	0.12
9	0.29	0.22	0.01	0.008	0.48	1.85	0.45	3.46	0.08
10	0.31	0.24	0.009	0.011	0.43	1.51	0.44	3.5	0.06

## نتائج فحوص درجة النقاوة :

اختلفت درجة النقاوة للنماذج المفحوصة ضمن مدیات متوسطة نسبياً حيث تراوحت بين 7.0-25 بالنسبة للدليل  $K_0$  أي شمول جميع المتضمنات اللامعديّة في

الحساب)، أي بعرض 0.5 مايكرون وبطول يتراوح بين (150-290) مايكرون ومع أن الموصفة تحدد الدليل  $K_1$  في حساب المتضمنات الالامعدنية بالنسبة للفولاذ المصنع بطريقة ESR الا أنها اخذنا بنظر الاعتبار المتضمنات الأصغر أي حساب الدليل  $K_0$  لنرى تأثير ذلك على خواص الفولاذ وهل تتغير علاقة تلك الخواص بمحتوى المتضمنات الالامعدنية في تلك الحالة عن تلك العلاقة في حالة حساب  $K_1$ <sup>[15]</sup>. يتضمن الجدول رقم (3) النتائج النهائية لدرجة النقاوة بدلاة الدليل  $K_0$  والحجم الحبيبي ، ان أغلب النماذج منتجة بنفس الطريقة ولكننا نلاحظ تفاوت في مقدار محتوى المتضمنات من خلال الدليل  $K_0$  ، وهذا يعتمد على الدقة في تنفيذ خطوات العمل في عملية الصب والصهر وعلى الدقة في حساب النسبة المئوية للعناصر السبائكية المضافة وكذلك على محتوى الكبريت والاوكسجين .

الجدول رقم (3) النتائج النهائية لمحتوى المتضمنات بدلاة  $K_0$ ، والحجم الحبيبي

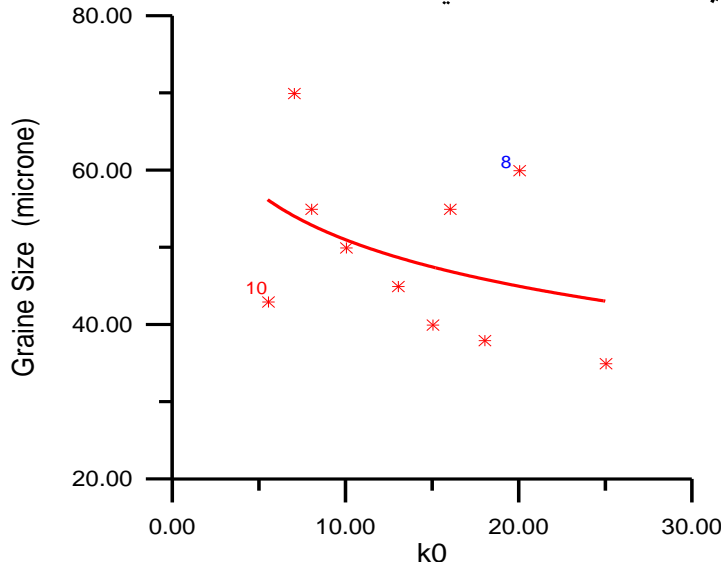
Sample number	$K_0$	Particle size ( $\mu\text{m}$ )	Particle size number ASTM(G)
1	8	55	5.4
2	10	50	5.7
3	7	70	4.7
4	15	40	6.3
5	18	38	6.5
6	13	45	6
7	25	35	6.8
8	20	60	5.2
9	16	55	5.4
10	5.5	43	6.2

#### فحص الحجم الحبيبي :

بينا سابقاً بأن المتضمنات تأثير على حجم الحبيبات المكونة من خلال كونها تعتبر أجنة يبدأ عندها التبلور وأن العلاقة بين عدد المتضمنات والحجم الحبيبي موضحة ضمن الجدول رقم(3) مع نتائج فحوصات النقاوة .

يمثل الشكل رقم(1) العلاقة البيانية بين الحجم الحبيبي ومحتوى المتضمنات بدلاة  $K_0$  حيث نلاحظ من الشكل المذكور التناوب العكسي غير الخطى بينهما مع انحراف بعض النقاط مثل النقاط 8 و 10 على الشكل والتي تمثل النماذج 8 و 10 على التوالي حيث يلاحظ من الجدول رقم(2) ان النموذج رقم 10 يمتلك نسبة عالية من النيكل لذا كان

الحجم الحبيبي صغيراً أما النموذج 8 فيمتلك نسبة عالية من الكروم والذي يساعد على نمو الحجم الحبيبي أي النقطتين 8 و 10 في الشكل (1).



شكل رقم (1) العلاقة بين الحجم الحبيبي ودرجة النقاوة  $K_0$ .

#### فحص التركيب المجهرى :

وجد من الواضح في هذا الفحص أن التركيب المجهرى لجميع النماذج هو المارتنسيت لأنها تعرضت لعملية الأصلاد نفسها لذا فإنها تمتلك نفس التركيب المجهرى حيث أن الطور يتكون عند تسخين الفولاذ إلى منطقة الأوتستينات ثم يبرد بالماء في مرحلة تصنيع المسبوكة .

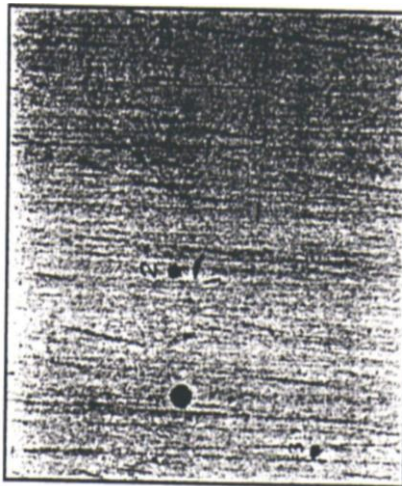
ويمثل الشكل رقم (2) صورة فوتوغرافية لتركيب المارتنسيت للنموذج رقم (1) .



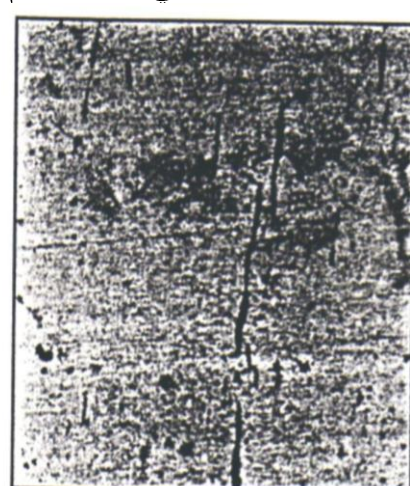
الشكل رقم (2) تركيب المارتنسيت للنموذج رقم (1) 100X

### المعاملة الكيميائية :

عند استخدام محلول 1% من حامض الأوكزاليك على مجموعة مستطلة من المتضمنات الالامعدنية لم تتأثر بهذا المحلول مما يدل على أنها ليست كبريتيدات حديدية، بل تأثرت بمحلول 10% من حامض الكروميك وأصبح لونها داكن مما دل على أنها كبريتيدات منغنيزية كما في الشكل رقم (3). وتأثرت بعض المتضمنات بمحلول الأوكزاليك مما دل على أنها كبريتيدات حديدية وكذلك تأثرت متضمنات أخرى بمحلول 1% من حامض الهيدروفلوريك مما دل على أنها سليكات وهناك متضمنات لم تتأثر بأي من هذه المحاليل، كما في الشكل رقم (4).



الشكل (4) متضمنات من كبريتيد الحديد وسليكات الحديد  $100\times$



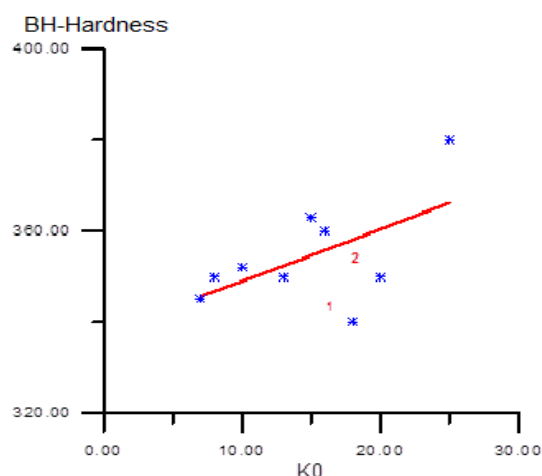
الشكل (3) متضمنات مستطلة بعد المعاملة الكيميائية  $100\times$

**نتائج الفحوصات الميكانيكية :** يتضمن الجدول (4) نتائج الفحوصات الميكانيكية ودرجة النقاوة.

الجدول رقم (4) يبين نتائج الفحوصات الميكانيكية ودرجة النقاوة

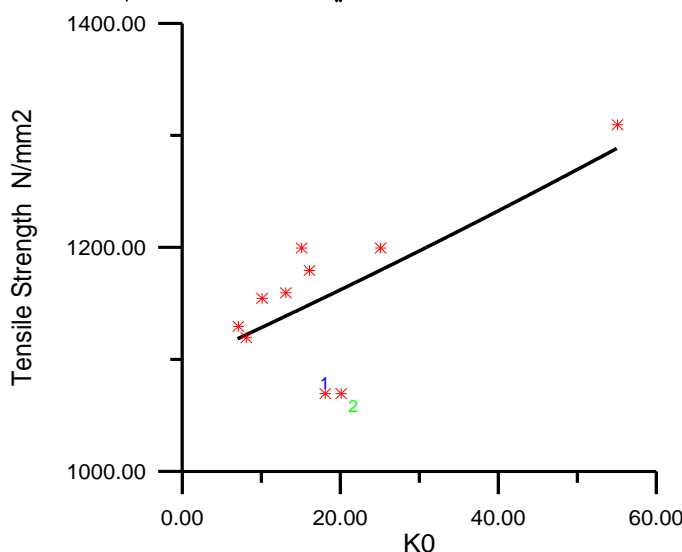
Sample number	Yield strength (N/mm)	Maximum tensile strength (N/mm)	Brinell Hardness (HB)	Shock resistance (J)	Elongation (%)	K <sub>0</sub>
1	1020	1120	350	170	15.5	8
2	1055	1155	352	160	15	10
3	1030	1130	345	180	16	7
4	1090	1200	363	140	14	15
5	990	1070	340	135	12.5	18
6	1040	1160	350	150	14.5	13
7	1110	1200	380	110	11	25
8	980	1070	350	120	12	20
9	1100	1180	360	140	14	16
10	1120	1310	365	200	17	5.5

ويتمثل الشكل (5) العلاقة بين الصلادة ومحتوى المتضمنات بدلالة  $K_0$  حيث نلاحظ التناوب الطردي بينهما لأن المتضمنات هي اطوار صلدة لذا فإنها من البديهي ان تؤدي إلى زيادة صلادة المادة سواء كانت بدلالة  $K_0$  او  $K_1$ <sup>[16]</sup> مع ملاحظة انخفاض القيمة التي تقل فيها صلادة المادة مع ازدياد المتضمنات أي القيمة التي تسبب ضعف في تركيب المادة حيث نلاحظ هبوط الصلادة عند قيمتي  $K_0$  تساوي 18 و 20 فهي قيمة محتوى المتضمنات الموضحة في النقطتين ( 1 و 2 ) الشكل رقم(5).



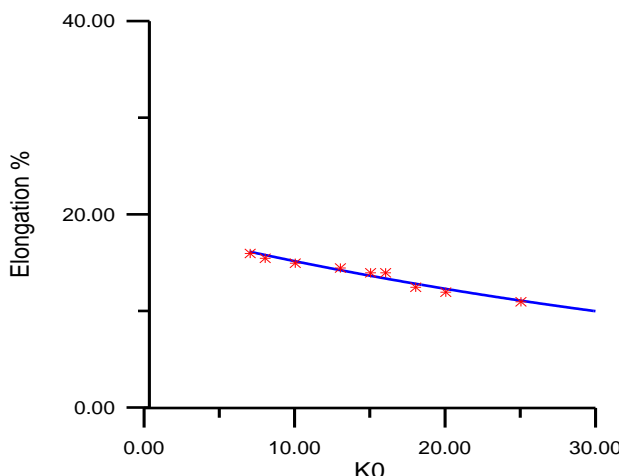
الشكل رقم (5) يبين العلاقة بين الصلادة والدليل  $K_0$ .

أما الشكل رقم (6) فيمثل العلاقة بين مقاومة الشد ومحتوى المتضمنات  $K_0$  حيث نلاحظ التناوب الطردي أيضاً مع وجود نقطتين تتحفظ فيما مقاومة الشد حيث ذكرنا سابقاً بأن المتضمنات تعتبر أحياناً من عوامل الضعف في تركيب المادة (النقطة 1 و 2).



الشكل رقم (6) يبين العلاقة بين مقاومة الشد القصوى و  $K_0$ .

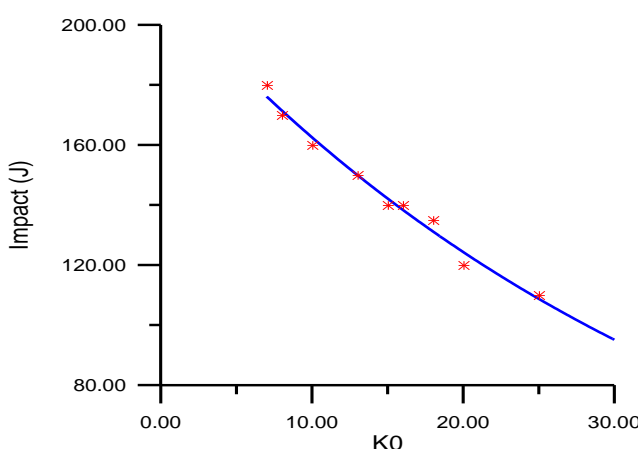
أما العلاقة بين الاستطالة ومحتوى المتضمنات بدلالة  $K_0$  فيمثلها الشكل رقم (7) حيث نلاحظ التناوب العكسي بينهما مع ملاحظة امتلاك هذه السبيكة نسبة استطالة جيدة حيث تصل الى 17% أي امتلاكها نسبة جيدة من المطيلية .



الشكل رقم (7) العلاقة البيانية بين الاستطالة ودرجة النقاوة  $K_0$ .

ويتمثل الشكل رقم (8) العلاقة بين مقاومة الصدمة و  $K_0$  ، ونلاحظ كذلك التناوب العكسي غير الخطى بينهما لأن زيادة المتضمنات تؤدى الى تحول تصرف المادة من المطيلي الى الهش أي قلة مقاومة الصدمة مع زيادة نسبة المتضمنات الالامعدينية .

ومن الشكلين (7 و8) نلاحظ التأثير الواضح للمتضمنات الالامعدينية على الاستطالة و مقاومة الصدمة لأن هاتين الخاصيتين الميكانيكيتين من الخواص الحساسة جداً وهما مشابهين تقريباً للعلاقة التي حصل عليها الباحثان B.BSeth & L.E.Wagner بين كل من الاستطالة و مقاومة الصدمة وبين نسبة الكبريت الذي يمثل العنصر الرئيسي لتكوين المتضمنات [8] .



الشكل رقم (8) العلاقة البيانية بين مقاومة الصدمة ودرجة النقاوة  $K_0$ .

### الاستنتاجات :

من خلال المعطيات التي حصلنا عليها في هذا البحث نستطيع أن نلخص الاستنتاجات التالية:

- 1- للمتضمنات الالامعدينية تأثير واضح في حالة حساب الدليل  $K_0$  .
- 2- للمتضمنات الالامعدينية تأثيراً عكسيّاً وبشكل غير خطى على كل من الاستطالة ومقاومة الصدمة .
- 3- للمتضمنات الالامعدينية تأثيراً طردياً بالنسبة لمقاومة الشد القصوى والخضوع .
- 4- المتضمنات المستطالة والكبيرة الحجم لها تأثير أكبر من المتضمنات كروية الشكل وصغرى الحجم .

### المصادر :

- [1] Metal Handbook 9<sup>th</sup> edition Vol.9 "Metallography and Microstructure",1985.
- [2] P.R.Beeley " foundry technology",1972.
- [3] V.Voort and George F,"Metallographic: Principles and Practice". McGraw- Hill,1984.
- [4] D. Kopoliovich , "Non-Metallic inclusions in steel.txt", 2012.
- [5] Richardw.Heince and R.Loper, "Principle of metal casting", 2<sup>nd</sup> edition, 1967.
- [6] DIN Standard 50602, 1985.
- [7] Metal Handbook 9<sup>th</sup> edition Vol. 15 " Casting " , 1988.
- [8] G.V.Smith, " effect of melting and processing variables on the mechanical properties of steel " ,1977.
- [9] S.LEE, " Correlation of microstructure and tempered martensite embrittlement", Metal Trans. Vol. 20A.June, 1989.
- [10] Chunhn. Iuo, "behavior of non-metallic inclusion plastic deformation of steel" 2000 (internet).
- [11] Key to steel, 2001.
- [12] DIN Standard 50125, 1985.
- [13] DIN Standard 50115, 1966.
- [10] ASTM Standard E112,1996.
- [15] S.A. Abass, A.H.Atawi,S.A.Gaced, "Study the influence of non-metallic inclusions on wrought low alloy steel", مجلة الهندسة والتكنولوجيا، المجلد التاسع/العدد الأول - آذار 2005 .
- [16] S.A.Abass, "(30NiCrMo<sub>16-6</sub>) دراسة تأثير المتضمنات الالامعدينية على سبيكة" 2014 7(2) : 50-58 مجلـة واسـط للـعلوم والـطب ،

# Study Influence of Particle Size and Non-metallic Inclusions on the Steel Alloy

Ghazi Kamal Saeed

Wasit University- College of Basic Education -Science Department

## **Abstract:**

Number of elements as Sulpher and Oxygen can be found as sulphides and oxides in steel, and as they have low solubility in steel, they are presented as non-metallic inclusions. The shape, number, size and distribution of these inclusions have a significant influence on the comportment of steel in various engineering applications.

The object of this study is to examine the shape and type of non-metallic inclusions by using chemical reagents and to determine the indices  $K_0$  which give the percentage amount of these inclusions in the structure of steel. Then to investigate the relation between these indices and mechanical properties.

It is concluded that ductility and shock resistance are inversely proportional to the indices, which tensile strength is proportional directly with these indices.

**Key words:** particle size , non-metallic inclusions , steel alloy, indices  $K_0$